

佐賀県土木課(元東京大学大学院) 坂元 信
東京大學生産技術研究所 龍岡文夫
日立造船(株)技術研究所 川村大蔵

筆者らは1g(重力)の下での平面ひずみ模型支持力実験の解析のために、砂箱側面(壁面)で観察される変位場・ひずみ場から模型地盤内の応力場を推定することを試みている。¹⁾ 地盤内に変位の不連続面(あるいはShear band, せん断層)が発生する前は各点ごとの局所的なひずみ増分の特性方向(ひずみのない方向)とダイレクトシーアングル $\psi = \arcsin \frac{-(\dot{\varepsilon}_1 + \dot{\varepsilon}_2)}{\dot{\varepsilon}_1 - \dot{\varepsilon}_2}$ から動員されといふ摩擦角 ϕ_{mob} を $\arcsin \frac{(R-1)}{R+1}$, $R = \frac{K(\alpha) + \sin \psi}{1 - \sin \psi}$, $K(\alpha)$ のように推定できよう。せん断層が発生してからは、これに関する情報から各点ごとの応力特性曲線の方向と ϕ_{mob} の値が推定できよう。そこで「平面ひずみ圧縮試験におけるすべり層の情報とマクロ的(供試体平均の)応力状態の関係を考察した。平面ひずみ圧縮試験は飽和豊浦砂を用い、 $\sigma_3' = 0.05 \sim 4.0 \text{ kgf/cm}^2$ の範囲^{2), 3)} で行った。供試体を空中落下法で作成する時の堆積面と σ_3' の方向のすす角度 δ を $0 \sim 90^\circ$ の範囲で変えた。供試体は高さ $H = 10.5 \text{ cm}$, 長さ(σ_1 方向) $l = 8 \text{ cm}$, 幅(σ_3 方向) $w = 4 \text{ cm}$ である。

すべり面と $\phi = \arcsin \left(\frac{\sigma_1 - \sigma_3}{\sigma_1 + \sigma_3} \right)$ の関係: 供試体の作用面には軸ひずみ $\epsilon_a \approx 12\%$ の時に写真-1に示すようなすべり面が観察できる。この写真ではセル水とセルの存在のために上下方向と水平方向の長さの比が実際の1/1.15倍になっている(実際はもっと細長い)。実際の場合には図-2に模式的に示すようにすべり層と堆積面の関係は $\delta = 0^\circ$, $\delta = 90^\circ$ の時以外は「 $d-d$ 」(堆積面とは方向が大きく異なり)「 $\beta-\beta$ 」(堆積面とは平行に近い)のように2つある⁴⁾。本研究では $\delta = 45^\circ$ の実験は合計9つ行なったが(図-3), すべり層 $\beta-\beta$ が発生したのは2つだけであた。更に、 $d-d$, $\beta-\beta$ のすべり層の発生の仕方と ϕ の値の間には明瞭な関係はない。従って、何なくとも $\delta = 45^\circ$ では「平面ひずみ圧縮試験では堆積面により平行なすべり層 $\beta-\beta$ が発生し、それに応じて ϕ が測定され、すべり層 $d-d$ に対する ϕ (これは $\beta-\beta$ に対応する ϕ より大きいと考えらる) が測定されない」ということは成立していないようである。 $\delta = 23^\circ$ と 34° の時は $\beta-\beta$ のすべり層だけが発生したが、 $\delta = 11^\circ$, 45° , 67° では両方のすべり層が発生した。現在の所記命題が $\delta = 23^\circ$ と 34° の時に成立しているかどうかは不明である。

以上要するに、本研究で得られた $\delta = 23^\circ$ と 34° 以外での $\phi(\delta)$ の値はすべり層の方向 ($d-d$ または $\beta-\beta$) によらず適用できるようである。

すべり層の方向 θ (図-1) と応力特性曲線

の方向 $45^\circ + \phi/2$ の関係: 文献1の図-4および本論文の図-4に示すように、 θ と

$\sigma_3' (\text{kgf/cm}^2)$	0.05	0.5	1.0	4.0
$e_{0.05}$	0.714	0.670	0.722	0.714
$\phi (^\circ)$	46.7	47.8	45.6	44.3

写真1

おおよその θ と $45^\circ + \phi/2$ の関係

—STRESS CHARACTERISTICS σ_1

① $45^\circ + \phi/2$

—SHEAR BAND

—STRAIN-RATE CHARACTERISTICS
② $45^\circ + \nu_{max}/2$

---BEDDING PLANE $\eta = 90^\circ - \delta$

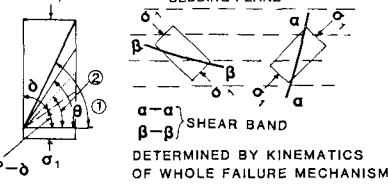


図-1 各種の方向の定義

図-2 すべり層と堆積面の間の2つの関係

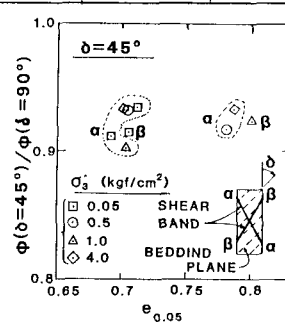


図-3,

$\delta = 45^\circ$ の時の ϕ の異方性。
 $\phi(\delta = 90^\circ)$ は $\delta = 90^\circ$ の時 ϕ (詳しく述べては文献3を参照されたい)。

$45^\circ + \phi/2$ は一致せず、 δ の強い関数のようである。 $\delta = 23^\circ$ と 34° の時はすべり層と堆積面の方向が一致するところであるが、 $\delta = 34^\circ$ の時は θ が特に小さくなりつつ、両者が一致しないようとしているようである。図-4 を用いて観察された θ から $45^\circ + \phi/2$ を推定できること¹⁾

変位の不連続量 Δ とマクロ的 $\phi_{mob} = \arcsin(\frac{\sigma_1 - \sigma_3}{\sigma_1 + \sigma_3})$ の関係；図-5 は、密な供試体を用いた 3 つの拘束圧 ($\sigma_3' = 0.05, 1.0, 4.0 \text{ kgf/cm}^2$) の実験結果である。 σ_3' が大きい程、 $(\bar{\sigma}_1 / \bar{\sigma}_3)_{max}$ が生ずる時の $\bar{\varepsilon}_v$ が大きくなるのは「ピーカ荷重まで」の供試体内の変形の一様性は σ_3' が大きい程高いからである²⁾。一方、ピーカ荷重後の荷重以下の方方が σ_3' が大きい程小さいのは「ピーカ荷重後の供試体の変形の非一様性、すなわちすべり層への変形の集中の程度は σ_3' が大きい程高いからである（詳しく述べて参考文献 5 参照）。後者のことは写真 1 で明確に分かる。更にこのことは $\bar{\varepsilon}_v > 4\% \sim 5\%$ の $\bar{\sigma}_1 / \bar{\sigma}_3$ は σ_3' が大きい程小さく、この時の $(-\partial \bar{\varepsilon}_v / \partial \Delta)$ がゼロに近くなっていること、より真の残留状態になつたところからも推測できよう。図-6 は測定された Δ と ϕ_{mob} の関係である。これを利用して測定された Δ から ϕ_{mob} を推定できよう。

すべり層の幅 w は拘束圧 σ_3' が大きい程小さい。従って、(1)-(2) の Δ と $\Delta/w =$ 「すべり層内の平均せん断ひずみ」は σ_3' が大きい程大きい。たとえば「点 F で」は $\Delta/w = 2.87/2.36 (\text{mm}) = 0.39 (39\%)$ 、点 M で³⁾ は $\Delta/w = 2.73/4.41 = 0.62 (62\%)$ 、点 T で⁴⁾ は $\Delta/w = 2.93/2.15 = 1.36 (136\%)$ である。 $\bar{\varepsilon}_v \approx 5\%$ である F, M, T で⁵⁾ の $\bar{\sigma}_1 / \bar{\sigma}_3$ が σ_3' によつて異なるのは、この Δ/w の値の大幅な相違によつて説明されよう。

まとめ：本研究では平面ひずみ供試体内の局所的応力の分布は測定していない（砂を用いているので）、しかしてもできない）。従つて、ここに示した $\theta \sim 45^\circ + \phi/2$ 関係、 $\phi_{mob} \sim \Delta$ 関係を局所的応力へひずみ・変位関係と併用するには若干疑問が残る。

参考文献 1) 龍岡文夫・谷和夫・川村文蔵(1985)、「重力(1g)下における小型模型支持力実験における地盤の進行的破壊(=1), 第40回土木学会, III, 2) 坂元信・龍岡文夫・川村文蔵(1985)、「極端拘束下における平面ひずみ圧縮強度と変形特性」、2) 3) は第20回土質学会、名古屋。3) 川村文蔵・龍岡文夫・坂元信・二葉義人(1985)、「平面ひずみ圧縮強度と強度特性の異方性」、4) 三笠正人・高田直樹・大島昭彦(1984)、「一次元充密粘土と自然堆積粘土の非排水強度と異方性」、土と基礎、11月号。5) 川村文蔵・龍岡文夫・坂元信(1985)、「局所的ひずみ分布から見た平面ひずみ供試体の応力へひずみ関係(=2)」、第40回土木学会, III,

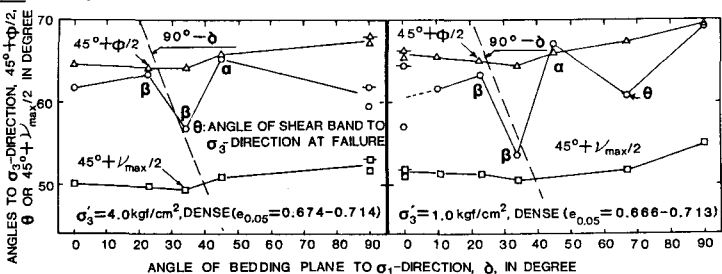


図-4 各種の方向の実測 (α, β はすべり層の方向を示す、図-2)

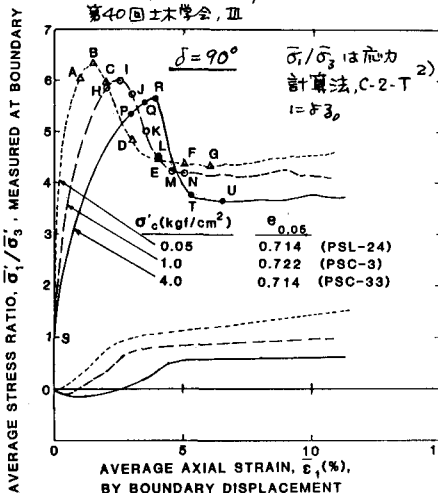


図-5, σ_3' による平均的「応力へひずみ関係」

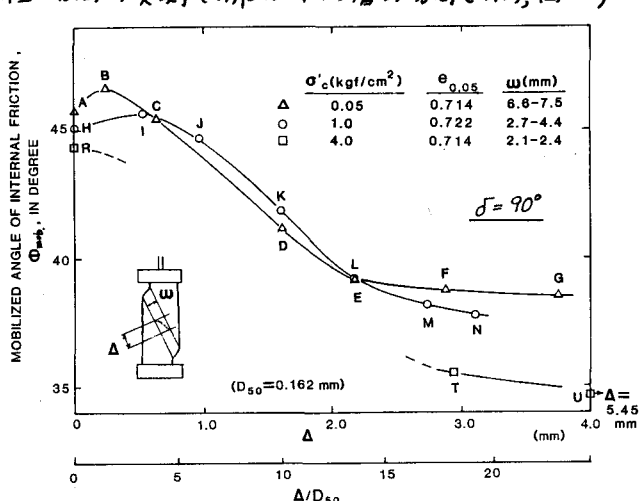


図-6 測定された Δ と ϕ_{mob} の関係。